

УДК 542.9:546.791(21)

# Исследование кинетики восстановления $U_3O_8$ водородом и аммиаком в неизотермических условиях

Е. В. СИДОРОВ, В. Л. СОФРОНОВ

Северский технологический институт “Национальный исследовательский ядерный университет МИФИ”, проспект Коммунистический, 65, Северск Томской обл. 636036 (Россия)

E-mail: ev\_sid@mail.ru

(Поступила 05.09.10; после доработки 17.01.11)

## Аннотация

Рассмотрена возможность предварительного восстановления  $U_3O_8$  водородом и аммиаком перед его фторированием с целью повышения содержания урана (IV) в продукте. Приведены результаты исследований по определению оптимальных температур, а также кинетики процесса восстановления  $U_3O_8$  в неизотермических условиях методом термопрограммированного восстановления.

**Ключевые слова:** октаоксид триурана, восстановление, водород, аммиак, диоксид урана, температура, кинетика, неизотермические условия

## ВВЕДЕНИЕ

Кислородные соединения урана, или оксиды урана – диоксид урана  $UO_2$ , триоксид урана  $UO_3$  и октаоксид триурана  $U_3O_8$  – играют важную роль в технологии производства ядерного горючего. Но, пожалуй, еще большее значение они имеют как промежуточные продукты при производстве других соединений урана, главным образом фторидов (тетра- и гексафторида урана) [1].

Проведенные ранее исследования показали принципиальную возможность реализации процесса гидрофторирования в сублимационном производстве. Использование безводного фтороводорода в качестве фторирующего реагента позволяет получать фтороксиды урана с содержанием фтора 15–16 % при гидрофторировании октаоксида триурана. Фторирование в пламенном реакторе гидрофторированного продукта позволяет сократить удельный расход фтора на единицу продукции и увеличить производительность технологического процесса по гексафториду урана [1].

Использование оксидов урана с повышенным содержанием урана (IV) на стадии гид-

рофторирования позволяет увеличить содержание фтора в получаемом продукте. Повысить содержание урана (IV) можно путем восстановления шестивалентного урана (в виде  $UO_3$  или  $U_3O_8$ ) различными восстановителями, такими как водород, аммиак и др. [2].

В лабораторных условиях нами исследуется процесс получения оксидов с повышенным содержанием урана (IV), где в качестве восстановителя используется газообразный водород и аммиак.

Для расчета кинетических параметров процесса восстановления  $U_3O_8$  водородом и аммиаком выбран методописанный в работе [3], основанный на смешении температуры максимума при различных скоростях нагрева. Данный метод является дифференциальным и наиболее обоснованным в наших условиях, поскольку процесс восстановления оксида урана состоит из совокупности элементарных стадий, вклад которых изменяется по мере протекания процесса. Применение интегральных методов [4] проблематично, поскольку использование интегральных характеристик может быть сопряжено с некоторой неопределенностью, вызванной нестехиометричностью состава  $U_3O_{(8\pm x)}$ .

## ЭКСПЕРИМЕНТАЛЬНАЯ ЧАСТЬ

Для исследований использовали навески  $\text{U}_3\text{O}_8$  массой 0.1–0.25 г, с насыпной плотностью 2.7–3.1 г/см<sup>3</sup> и удельной поверхностью 0.3–0.4 м<sup>2</sup>/г. Удельная поверхность продуктов определялась методом БЭТ, насыпная плотность – методом утряски.

Эксперименты проводили в среде газовой смеси  $\text{H}_2/\text{Ar}$  и  $\text{NH}_3/\text{He}$ . Водорода и аммиака в смесях было по 10 %.

Исследование кинетики восстановления  $\text{U}_3\text{O}_8$  осуществляли с использованием прибора Chemisorb 2750 (Micromeritics, USA), принципиальная схема которого приведена на рис. 1.

Контроль за процессом восстановления осуществляли с помощью детектора по теплопроводности прибора Chemisorb 2750. С целью исключить вклад образующейся и выделяющейся в результате реакции воды в изменение теплопроводности газовой смеси ее пары вымораживали в ловушке, охлаждаемой замороженным изопропиловым спиртом. При восстановлении  $\text{U}_3\text{O}_8$  аммиаком замораживания паров воды не проводилось, так как это привело бы к замораживанию и аммиака и, как следствие, к большей погрешности измерений теплопроводности газовой системы и полученных кинетических кривых.

## РЕЗУЛЬТАТЫ И ОБСУЖДЕНИЕ

Для корректного определения кинетических параметров процесса восстановления выбрано пять значений скорости нагрева: 5, 10, 15, 20 и 25 К/мин. В результате получены следующие значения температур, соответствующих максимальным скоростям процесса: 1) для газовой смеси  $\text{H}_2/\text{Ar}$  – 604.0, 656.3, 682.2, 707.1 и 725.6 °C соответственно; 2) для газовой смеси  $\text{NH}_3/\text{He}$  – 660.0, 699.0, 760.0, 797.1, 846.4 °C соответственно.

Во избежание наложений и для большей наглядности на рис. 2 приведены только три дифференциальные кинетические кривые восстановления  $\text{U}_3\text{O}_8$ , соответствующие первым трем скоростям нагрева (5, 10 и 15 К/мин). На рис. 2 под удельной интенсивностью следует понимать интенсивность сигнала детектора теплопроводности, приведенную к единице массы образца  $\text{U}_3\text{O}_8$ .

Согласно данным работы [5], процессы восстановления оксидов металлов, протекающие в неизотермических условиях, можно описать следующим кинетическим уравнением:

$$\frac{d\alpha}{d\tau} = A \exp\left(-\frac{E_a}{RT}\right)(1-\alpha)^n \quad (1)$$

где  $\alpha$  – степень превращения, %;  $\tau$  – время, с;  $A$  – предэкспоненциальный множитель,

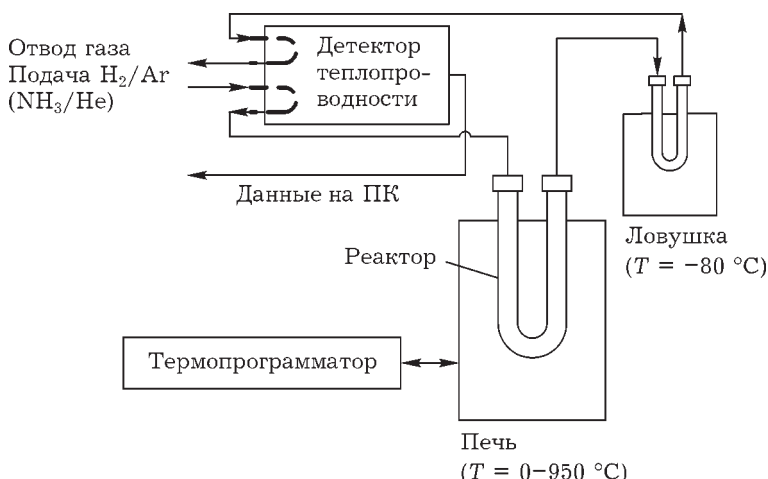


Рис. 1. Принципиальная схема прибора Chemisorb 2750.

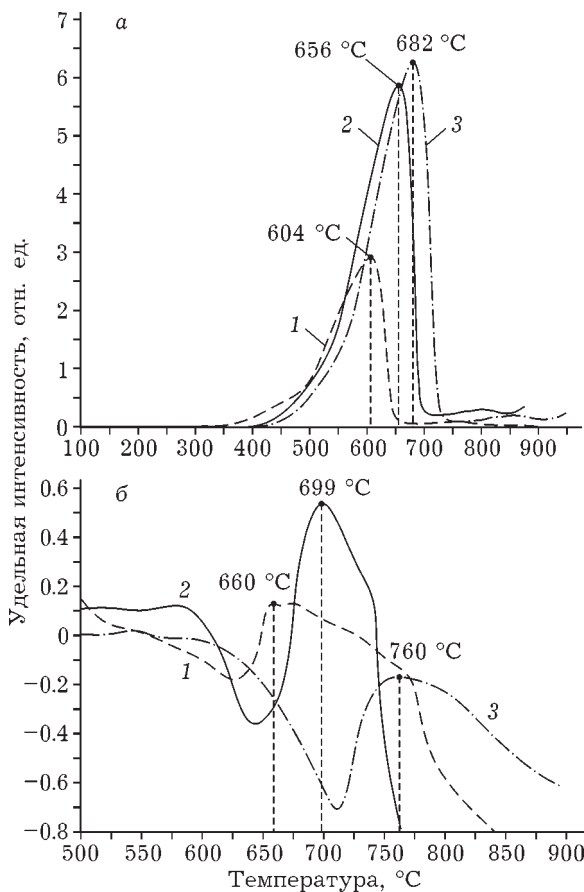


Рис. 2. Дифференциальные неизотермические кинетические кривые восстановления  $U_3O_8$  водородом (а) и аммиаком (б). Скорость нагрева образцов, К/мин: 5 (1), 10 (2), 15 (3).

мин<sup>-1</sup>;  $E_a$  – энергия активации, Дж/моль;  $T$  – термодинамическая температура, К;  $R$  – универсальная газовая постоянная, Дж/(моль · К);  $n$  – порядок процесса.

В момент максимальной скорости процесса уравнение (1) будет иметь вид

$$\frac{d}{dT} \left[ \frac{d\alpha}{dt} \right] = \frac{d}{dT} \left[ \frac{A}{\beta} \exp \left( -\frac{E_a}{RT} \right) (1-\alpha)^n \right] \quad (2)$$

где  $\beta$  – скорость нагрева образца, К/мин.

Для реакции первого порядка ( $n = 1$ ) имеем следующее выражение:

$$2 \ln T_m - \ln \beta = \frac{E_a}{RT_m} + \ln \frac{E_a}{AR} \quad (3)$$

где  $T_m$  – температура максимума скорости, К.

Исходя из уравнения (3) энергию активации определяли по тангенсу угла наклона прямой в координатах:  $2 \ln T_m - \ln \beta = f(10^3/T_m)$ , а предэкспоненциальный множитель – по отрезку, отсекаемому на оси ординат (рис. 3).

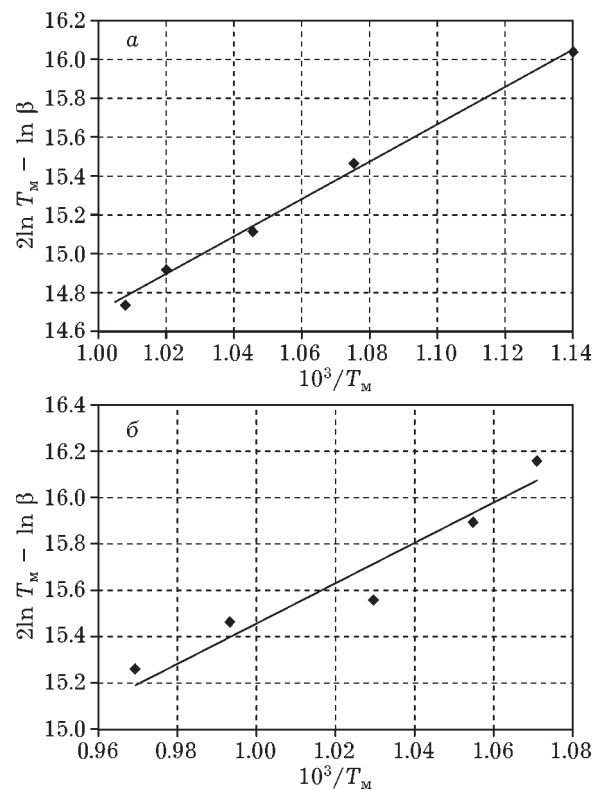


Рис. 3. Определение энергии активации и предэкспоненциального множителя при восстановлении  $U_3O_8$  водородом (а) и аммиаком (б).

Кинетические характеристики процесса восстановления  $U_3O_8$  водородом и аммиаком имеют следующие значения: в случае использования водорода (смесь  $H_2/Ar$ )  $E_a = (81.6 \pm 6)$  кДж/моль,  $A = (76.77 \pm 4)$  мин<sup>-1</sup>; при восстановлении с использованием смеси  $NH_3/He$ :  $E_a = (69.5 \pm 14)$  кДж/моль,  $A = (7.02 \pm 2)$  мин<sup>-1</sup>.

Для проверки соответствия расчетных значений кинетических параметров их экспериментальным численным значениям из уравнения (3) получено следующее уравнение [5]:

$$\frac{E_a}{RT_m} = \ln \frac{A}{\beta} - \ln \left( \frac{E_a}{RT_m} \frac{1}{T_m} \right) + \ln [n(1-\alpha)^{n-1}] \quad (4)$$

Полученное трансцендентное уравнение относительно  $T_m$  решено с использованием программы Maple 10.

Результаты кинетических расчетов представлены в табл. 1.

Видно, что в случае восстановления образца  $U_3O_8$  в токе  $H_2/Ar$  при разных скоростях нагрева расчетные данные с высокой точностью согласуются с экспериментальными, а это свидетельствует об адекватности выб-

ТАБЛИЦА 1

Результаты кинетических расчетов восстановления  $U_3O_8$  водородом и аммиаком

$\beta$ , К/мин	Температура максимума скорости, °C	
	Расчетная	Экспериментальная
<i>Восстановитель – <math>H_2/Ar</math></i>		
5	605.0	604.0
10	655.0	656.3
15	684.0	682.2
20	707.0	707.1
25	725.0	725.6
<i>Восстановитель – <math>NH_3/He</math></i>		
5	650.0	660.0
10	711.0	699.0
15	749.0	760.0
20	771.3	797.1
25	807.8	846.4

ранной кинетической модели в рассматриваемой температурной области.

Однако при восстановлении образца  $U_3O_8$  в среде  $NH_3/He$  полученные в результате расчетов по кинетическим уравнениям первого порядка значения температур существенно расходятся с экспериментальными данными. Таким образом, полученные кинетические характеристики, по-видимому, – эффективные оценочные величины, не отражаю-

щие истинных кинетических закономерностей, которые могут быть использованы для оценочных технологических расчетов.

Образцы  $U_3O_8$ , восстановленные водородом и аммиаком при разных скоростях нагрева, подвергли химическому анализу для определения содержания в них четырехвалентного урана, общего содержания урана и степени восстановления продукта (табл. 2).

Как следует из данных табл. 2, в случае использования газовой смеси  $H_2/Ar$  степень восстановления образца  $U_3O_8$  выше по сравнению с использованием газовой смеси  $NH_3/He$  и достигает 89.33 % при скорости нагрева 5 К/мин. При этом температура максимума составила 604 °C. Однако для восстановления образца смесью  $H_2/Ar$  требуется значительно больше времени.

С увеличением скорости нагрева образца  $U_3O_8$  в обоих случаях (восстановление водородом и аммиаком) наблюдается смещение пиковых значений температур в область более высоких значений и, как следствие, снижение степени восстановления продукта. Тем не менее при  $\beta = 5$  и 10 К/мин происходит достаточно полное восстановление образца  $U_3O_8$ . Содержание  $U^{4+}$  в нем после опытов возрастало с 32–33 до 80–90 %, благодаря чему его можно использовать для дальнейшего гидрофторирования.

ТАБЛИЦА 2

Параметры восстановления и составы продуктов восстановления  $U_3O_8$  водородом и аммиаком

$\beta$ , К/мин	Массовая доля, %	$\alpha^{U(6+)} \rightarrow U(4+)$ , %	$T_m$ , °C	$\tau$ , мин
	$U_{\text{общ}}$	$U^{4+}$		
<i>Восстановитель – <math>H_2/Ar</math></i>				
5	86.67	81.71	89.33	604.0
10	86.0	78.50	83.97	656.3
15	85.60	70.24	70.18	682.2
20	85.40	67.50	65.60	707.1
25	85.29	65.60	62.43	725.6
<i>Восстановитель – <math>NH_3/He</math></i>				
5	86.46	80.56	87.41	660.0
10	85.75	79.00	84.81	699.0
15	86.20	78.10	83.31	760.0
20	85.95	76.55	80.72	797.1
25	85.82	74.03	76.51	846.4

## ВЫВОДЫ

По результатам проведенных исследований по восстановлению  $U_3O_8$  водородом и аммиаком на установке с термопрограммированным нагревом можно сделать следующие выводы:

1. Процесс восстановления  $U_3O_8$  водородом начинается при температурах выше 350 °C, а с ростом температуры скорость восстановления  $U_3O_8$  увеличивается;

2. Процесс восстановления  $U_3O_8$  аммиаком протекает при более высоких температурах и постадийно. По-видимому, сначала происходит разложение аммиака при температурах 500–630 °C, а затем восстановление образца  $U_3O_8$  при температурах 630–700 °C;

3. С повышением скорости нагрева образцов  $U_3O_8$  от 5 до 25 K/мин возрастают температуры, при которых достигаются максимальные скорости восстановления как водородом, так и аммиаком;

4. Энергии активации и предэкспоненциальные множители процессов восстановления  $U_3O_8$  водородом и аммиаком, рассчитанные по методикам для неизотермических процес-

сов, составляют  $(816 \pm 6)$  кДж/моль,  $(76.77 \pm 4)$  мин<sup>-1</sup> и  $(69.5 \pm 14)$  кДж/моль,  $(7.02 \pm 2)$  мин<sup>-1</sup> соответственно. При этом погрешность определения в случае восстановления водородом не превышает 7–10 %, а в случае использования аммиака она достигает 20 %;

5. Насыпная плотность и удельная поверхность конечных продуктов, полученных после восстановления образцов оксида урана, не изменяются относительно исходных значений и составляют 2.7–3.1 г/см<sup>3</sup> и 0.3–0.4 м<sup>2</sup>/г соответственно.

## СПИСОК ЛИТЕРАТУРЫ

- 1 Галкин Н. П., Судариков Б. Н., Верятин У. Д., Шишков Ю. Д., Майоров А. А. Технология урана. М.: Атомиздат, 1964. 397 с.
- 2 Софронов В. Л., Буйновский А. С., Сидоров Е. В., Матвеев А. А., Рудников А. И., Русаков И. Ю., Князев А. С., Новиков Д. В. // Изв. ТПУ. 2010. Т. 316, № 3. С. 36–38.
- 3 Amenomija Y., Cvetanovic R. J. // J. Chem. Phys. 1963. Vol. 67. P. 144–148.
- 4 Фиалко М. Б. Неизотермическая кинетика в термическом анализе. Томск: Изд-во Том. ун-та, 1981. 60 с.
- 5 Григорьян Е. Г., Ниазян О. М., Харатян С. Л. // Кинетика и катализ. 2007. Т. 48, № 6. С. 829–833.